



U F *m* G

# **Estimação de Estados a partir de Medições não Sincronizadas e Amostras Irregularmente**

T. Tupinambas, L. Tôrres e B. Teixeira

Laboratório de Modelagem, Análise e Controle de Sistemas Não-Lineares  
(MACSIN)

Programa de Pós-Graduação em Engenharia Elétrica (PPGEE)  
Universidade Federal de Minas Gerais (UFMG)

# Agenda

## 1 Introdução

- Motivação e Objetivos
- Formulação do Problema

## 2 Metodologia

- Método de Estimação
- Sem carimbo de tempo
- Com carimbo de tempo

## 3 Resultados Simulados

- Descrição do Sistema
- Resultados

## 4 Conclusões

# Agenda

- 1 Introdução
  - Motivação e Objetivos
  - Formulação do Problema
- 2 Metodologia
  - Método de Estimação
  - Sem carimbo de tempo
  - Com carimbo de tempo
- 3 Resultados Simulados
  - Descrição do Sistema
  - Resultados
- 4 Conclusões

# Estimação de Estados

*Determinar as **pdfs** dos estados de um sistema, baseado no modelo de processo e nas observações passadas:  $\rho(x_k | y_1, \dots, y_k)$*

images/pdf-propagacao2.jpg

# Estimação de Estados

Considere o sistema dinâmico estocástico não-linear amostrado

$$\dot{x}(t) = f(x(t), u(t), w(t), t),$$

$$y(t_k) = g(x(t_k), v(t_k), t_k),$$

em que:

$x(t) \in \mathbb{R}^n$ : vetor de estados,

$u(t) \in \mathbb{R}^p$ : vetor de entradas,

$y(t_k) \in \mathbb{R}^m$  vetor de observações,

$w(t) \in \mathbb{R}^q$ : ruído de processo,

$v(t_k) \in \mathbb{R}^m$ : ruído de medição,

$f$ : modelo de processo contínuo em  $t$ ,

$g$ : modelo de medição amostrado em  $t_k$ .

# Modelo de Amostragem

Em geral, considera-se que os sinais são amostradas e disponibilizadas para o estimador a uma **taxa regular**.

No entanto, em muitas aplicações práticas, esse modelo não é verdadeiro:

# Modelo de Amostragem

Em geral, considera-se que os sinais são amostradas e disponibilizadas para o estimador a uma **taxa regular**.

No entanto, em muitas aplicações práticas, esse modelo não é verdadeiro:

- Limitações nos instrumentos ou na rede de comunicação

# Modelo de Amostragem

Em geral, considera-se que os sinais são amostradas e disponibilizadas para o estimador a uma **taxa regular**.

No entanto, em muitas aplicações práticas, esse modelo não é verdadeiro:

- Limitações nos instrumentos ou na rede de comunicação
- Uso de muitos sensores redundantes, não sincronizados



# Modelo de Amostragem

Em geral, considera-se que os sinais são amostradas e disponibilizadas para o estimador a uma **taxa regular**.

No entanto, em muitas aplicações práticas, esse modelo não é verdadeiro:

- Limitações nos instrumentos ou na rede de comunicação
- Uso de muitos sensores redundantes, não sincronizados
- Esquemas de amostragem baseado em eventos

# Modelo de Amostragem

Em geral, considera-se que os sinais são amostradas e disponibilizadas para o estimador a uma **taxa regular**.

No entanto, em muitas aplicações práticas, esse modelo não é verdadeiro:

- Limitações nos instrumentos ou na rede de comunicação
- Uso de muitos sensores redundantes, não sincronizados
- Esquemas de amostragem baseado em eventos
- Aplicações industriais com medições laboratoriais

# Métodos para Amostragem Irregular

**Quando há carimbo de tempo**, pode-se optar pela aplicação de algum dos métodos disponíveis na literatura

- *Custos computacionais*

**Quando não há carimbo de tempo**, pode-se investir na sincronização temporal ou na utilização de GPS na rede

- *Custos de infraestrutura*

# Objetivos

Custos adicionais valem a pena?

- *Qual o efeito de se considerar o carimbo de tempo?*
- *Quando vale a pena investir em sincronização ou em maior capacidade computacional?*
- *Quais os fatores que impactam no desempenho do estimador?*

# Formulação do Problema - Amostragem Irregular

$$\begin{aligned}\dot{x}(t) &= f(x(t), u(t), w(t), t), \\ y(t_k) &= g(x(t_k), v(t_k), t_k),\end{aligned}$$

Assume-se que:

- $\forall k \geq 1, y(t_k) \in \mathbb{R}^m$  é conhecido,
- $t_k, \forall k \in \mathbb{N}^+$ , **são ordenados e definidos pelos intervalos de tempo**  $h_0 \triangleq t_1, h_k \triangleq t_k - t_{k-1}, \forall k \geq 1$ ,
- $E[v(t_k)] = 0$  e  $E[v(t_k)v(t_k)^T] = R_{t_k}$ ,
- $u(t) \in \mathbb{R}^p$  são medidas em intervalos regularmente espaçados  $T$ ,
- $u(iT) \in \mathbb{R}^p, \forall i \geq 1$  são conhecidas, e
- $E[w(t_k)] = 0$  e  $E[w(t_k)w(t_k)^T] = Q_k$ .

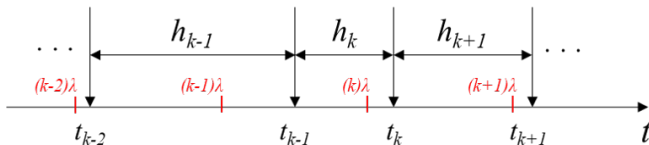
→ Deseja-se estimar o estado  $x(iT)$  de forma recursiva, em intervalos regularmente espaçados  $T$ .

# Formulação do Problema - Amostragem Irregular

Modelo de amostragem irregular das **observações**:

*Os instantes de medição  $t_k$  são dados por um processo aleatório de Poisson:*

$$h_k \sim \mathcal{E}(\lambda)$$



*Esse modelo caracteriza uma aplicação comum para um sistema com rede de sensores dessincronizados<sup>1</sup>*

<sup>1</sup>Micheli2002.

# Agenda

## 1 Introdução

- Motivação e Objetivos
- Formulação do Problema

## 2 Metodologia

- Método de Estimação
- Sem carimbo de tempo
- Com carimbo de tempo

## 3 Resultados Simulados

- Descrição do Sistema
- Resultados

## 4 Conclusões

# Método de Estimação

## Filtro de Kalman *Unscented* (UKF) discreto<sup>2</sup>

- Discretização em **instantes regulares** (sem carimbo de tempo):

$$\begin{aligned}x_i &= f_d^*(x_{i-1}, u_{i-1}, w_{i-1}, i), \\t &= iT, \quad \delta t_i = T\end{aligned}$$

- Discretização em **instantes variáveis** (com carimbo de tempo):

$$\begin{aligned}x(t_j^*) &= f_d(x(t_{j-1}^*), u(t_{j-1}^*), w(t_{j-1}^*), t_{j-1}^*), \\ \delta t_j^* &= t_j^* - t_{j-1}^*, \quad t_0^* = 0\end{aligned}$$

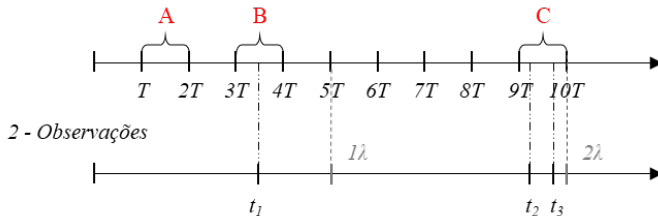
---

<sup>2</sup>Julier2004.



# Cenários de Estimação

1 - Entrada/Estimação



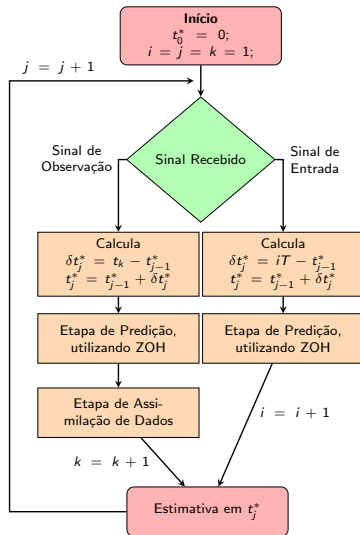
# Sem carimbo de tempo

Só há dois cenários de estimação:

- ① Não há medições entre duas informações de entrada:
  - ▶ Etapa de predição entre  $iT$  e  $(i + 1)T$
- ② Há medições entre duas informações de entrada:
  - ▶ Medição mais recente é assimilada no próximo instante de estimação, múltiplo de  $T$

→ *Passos de discretização são sempre  $\delta t = T$*

# Com carimbo de tempo



# Agenda

## 1 Introdução

- Motivação e Objetivos
- Formulação do Problema

## 2 Metodologia

- Método de Estimação
- Sem carimbo de tempo
- Com carimbo de tempo

## 3 Resultados Simulados

- Descrição do Sistema
- Resultados

## 4 Conclusões

# Descrição do sistema

Considere o sistema de um robô móvel não-holonômico:

$$\dot{p}_x = v \cos(\theta),$$

$$\dot{p}_y = v \sin(\theta),$$

$$\dot{\theta} = u_1(t),$$

$$\dot{v} = u_2(t),$$

em que:

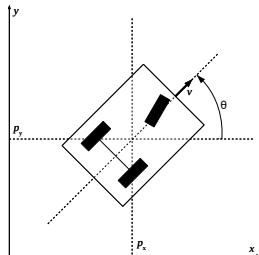
$p_x$  e  $p_y$ : coordenadas de posição,

$\theta$ : orientação angular,

$v$ : velocidade linear,

$u_1$ : entrada: velocidade angular ( $\omega$ ),

$u_2$ : entrada: aceleração linear ( $a$ )



# Robô Móvel não-Holomônico

Vetor de estados:

$$x_i \triangleq [p_{x,i} \ p_{y,i} \ \theta_i \ v_i]^T.$$

Modelo de observações:

$$y(t_k) = \begin{bmatrix} p_x(t_k) \\ p_y(t_k) \end{bmatrix} + v(t_k), \quad v(t_k) \sim \mathcal{N}(0, R_{t_k}).$$

Vetor de entradas:

$$u_i = [\omega_i \ a_i]^T,$$

$$u_i = \tilde{u}_i - w_i, \quad w \sim \mathcal{N}(0, Q_i).$$

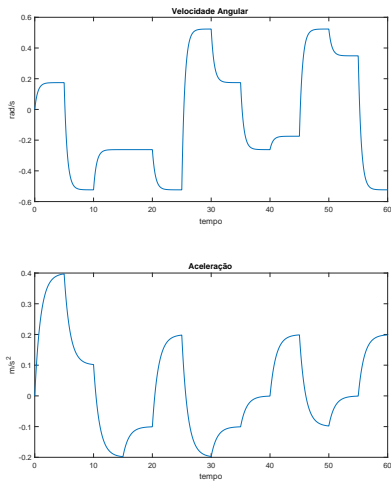
# Parâmetros da Simulação

- 60 segundos de simulação
- $\delta t_{\text{sim}} = 10^{-4}$
- $h_k$  calculado usando `exprnd()` do MatLab<sup>TM</sup> e aproximado entre os 600.000 pontos de simulação
- Índice de desempenho utilizado:

$$J = \frac{\sum_{i=1}^N \sqrt{(\hat{p}_{x,i} - p_{x,i})^2 + (\hat{p}_{y,i} - p_{y,i})^2}}{N}$$

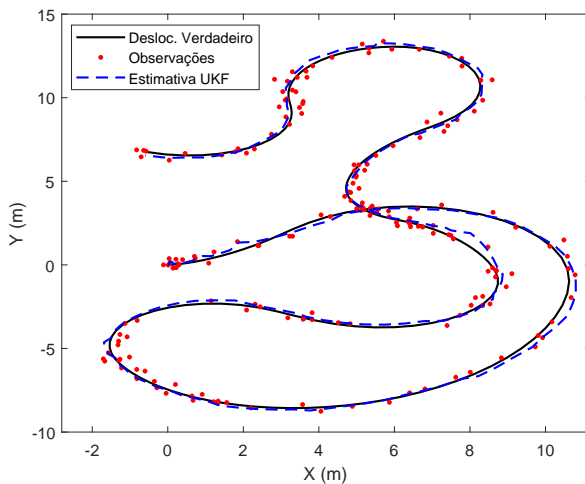
- 100 realizações foram realizadas para cada cenário de simulação. A média e o IC 95% são apresentados

# Entradas

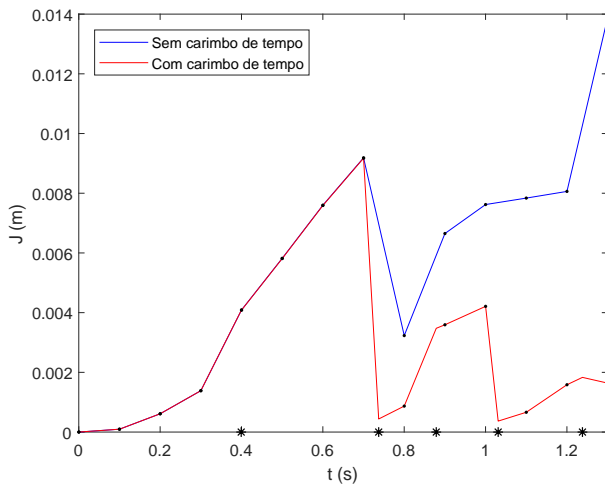




# Exemplo de Realização - Deslocamento do Robô



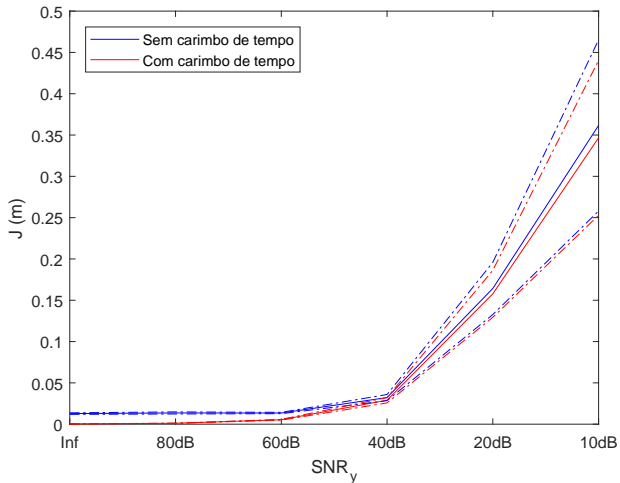
# Exemplo de Realização - Evolução do Índice $J$



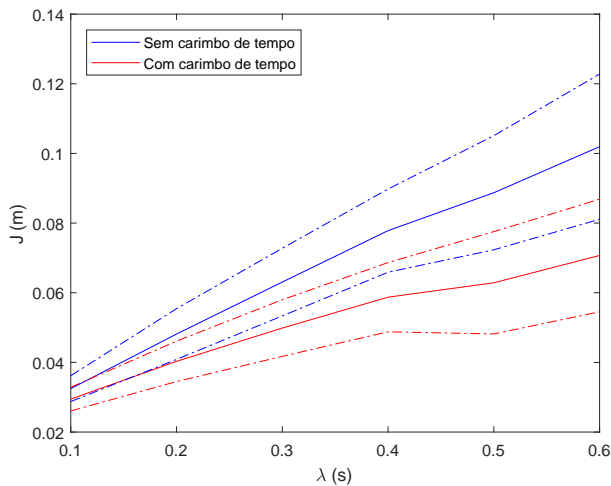
# Cenários Simulados

- 1 Variação do nível de ruído de observação
- 2 Variação do intervalo médio de amostragem de observação ( $\lambda$ )
- 3 Variação da relação entre intervalo médio de amostragem de observação e intervalo regular de estimação  $\alpha = T/\lambda$

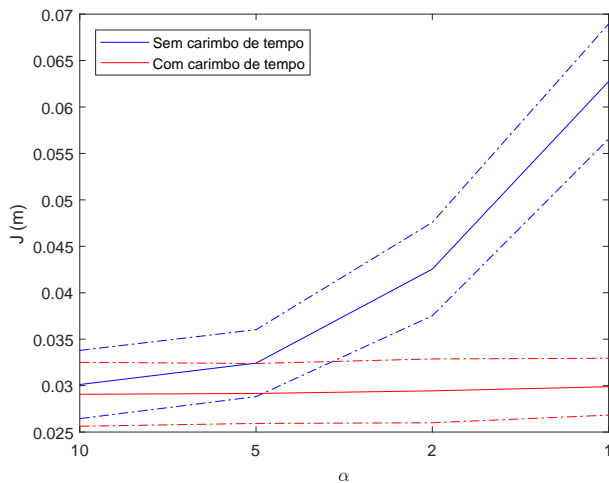
# Nível de Ruído das Medições



# Intervalo Médio das Medições



# Relação $\alpha = T/\lambda$



# Agenda

- 1 Introdução
  - Motivação e Objetivos
  - Formulação do Problema
- 2 Metodologia
  - Método de Estimação
  - Sem carimbo de tempo
  - Com carimbo de tempo
- 3 Resultados Simulados
  - Descrição do Sistema
  - Resultados
- 4 Conclusões

# Conclusões

Abordagem útil para a tomada de decisão sobre investir em sincronização e capacidade computacional.

O investimento pode não valer a pena para:

- Sistemas cujo **modelo de processo apresenta pouco ruído** em relação ao ruído de observações
- Sensores de **observação** com **alta frequência de amostragem** em relação à dinâmica do sistema
- Sensores dos **sinais de entrada** com **alta frequência de amostragem** em relação à frequência dos sensores de observação



The background is a sepia-toned photograph of a town. In the foreground, there are several buildings with tiled roofs. In the middle ground, a large, ornate church with two tall, pointed towers is prominent. Behind the church, there are more buildings and a body of water, possibly a lake or a wide river, with a forested hill in the background.

**Obrigado!**

tatatupi@gmail.com